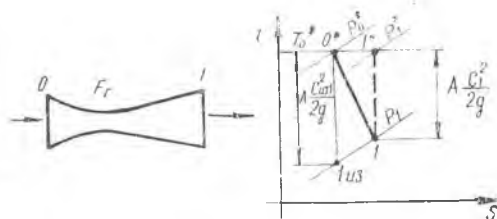


В. Т. ШЕСТАКОВ

### О СВЯЗИ КОЭФФИЦИЕНТОВ $\varphi$ , $\sigma$ И $\mu$ ГАЗОВЫХ ПОТОКОВ В КАНАЛАХ<sup>1</sup>

При рассмотрении движения сжимаемого вязкого газа в реактивных соплах в неподвижных и вращающихся каналах турбинных и компрессорных решеток в рамках одномерной задачи вводятся понятия коэффициента скорости  $\varphi = \frac{C}{C_{из}}$ , коэффициента восстановления давления торможения  $\sigma = \frac{P^*}{P_{из}^*}$ , коэффициента расхода  $\mu = \frac{G}{G_{из}}$ , при помощи которых производится сравнение скорости  $C$ , давления торможения  $P^*$  и расхода  $G$  сжимаемого вязкого газа в данном сечении канала с соответствующими параметрами в том же сечении при изэнтропном движении.

Сравнение параметров газа в некотором сечении 1—1 канала (фиг. 1) при действительном (политропном) и изэнтропном движении обычно производится при одинаковом давлении торможения  $P_0^*$  и температуре торможения  $T_0^*$  на входе (сечение 0—0) и статическом давлении  $P_1$  в рассматриваемом сечении 1—1. Каналы при этом теплоизолированы.



Фиг. 1.

<sup>1</sup> Отдельные формулы связей коэффициентов  $\varphi$ ,  $\sigma$ ,  $\mu$  приводятся в ряде работ [1, 2], в данной же статье вопрос о связи  $\varphi$ ,  $\sigma$ ,  $\mu$  рассматривается шире (для случая неподвижных и подвижных каналов), а также приводятся графики связей между этими коэффициентами, значительно ускоряющие расчеты.

Между коэффициентами  $\varphi$ ,  $\sigma$ ,  $\mu$  существует определенная связь, поэтому в расчетах движения газа в каналах при произвольном выборе этих коэффициентов может быть допущена ошибка. В случае использования достоверных опытных значений коэффициентов  $\varphi$ ,  $\sigma$ ,  $\mu$  ошибка исключается, так как опыт устанавливает реальное соотношение между ними. Если используется опытное значение одного из коэффициентов, то два других не могут выбираться произвольно, а должны быть определены по формулам связи между ними.

При выводе соотношений между коэффициентами  $\tau$ ,  $\sigma$ ,  $\mu$  используются газодинамические функции:

$$\lambda = \frac{C}{a_{кр}}; \quad \pi = \frac{P}{P^*}; \quad \tau = \frac{T}{T^*}; \quad \varepsilon = \frac{\rho}{\rho^*}; \quad q = \frac{F_{кр}}{F}.$$

Рассмотрим соотношение между коэффициентами  $\tau$ ;  $\sigma$ ;  $\mu$  при постоянной теплоемкости (или при  $k = \text{const}$ ).

Коэффициент скорости  $\tau_1$ , учитывающий потерю скорости  $\Delta C_1 = C_{из.1} - C_1$ , и коэффициент восстановления давления торможения  $\sigma_1$ , учитывающий соответствующую потерю давления торможения  $\Delta P^* = P_{из.1}^* - P_1^*$  при движении вязкого газа на участке  $0-1$ , определяются по формулам  $\tau_1 = \frac{C_1}{C_{из.1}}$  и  $\sigma_1 = \frac{P_1^*}{P_{из.1}^*}$ .

Действительная скорость течения вязкого газа в сечении  $1-1$  определяется по формуле

$$C_1 = \sqrt{2g \frac{k}{k-1} RT_1^* \left[ 1 - \left( \frac{P_1}{P_1^*} \right)^{\frac{k-1}{k}} \right]}, \quad (1)$$

где  $P_1^*$  и  $T_1^*$  — параметры торможения в сечении  $1-1$ .

Изоэнтروпная скорость в том же сечении

$$C_{из.1} = \sqrt{2g \frac{k}{k-1} RT_{из.1}^* \left[ 1 - \left( \frac{P_{из.1}}{P_{из.1}^*} \right)^{\frac{k-1}{k}} \right]}. \quad (2)$$

Имея в виду, что  $P_{из.1}^* = P_0^*$ ;  $T_{из.1}^* = T_1^* = T_0^*$ ;  $P_{из.1} = P_1$ , получим:

$$\tau_1^2 = \frac{1 - \left( \frac{P_1}{P_1^*} \right)^{\frac{k-1}{k}}}{1 - \left( \frac{P_1}{P_{из.1}^*} \right)^{\frac{k-1}{k}}} = \frac{1 - \left( \frac{\tau_{из.1}}{\sigma_1} \right)^{\frac{k-1}{k}}}{1 - (\tau_{из.1})^{\frac{k-1}{k}}} = \frac{1 - \frac{\tau_{из.1}}{\sigma_1^{\frac{k-1}{k}}}}{1 - \tau_{из.1}}. \quad (3)$$

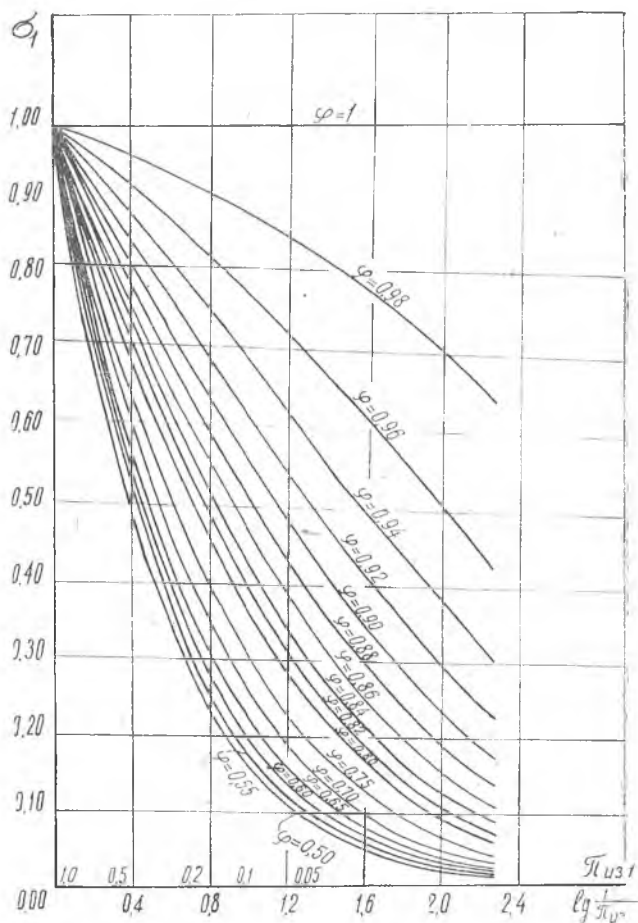
Обратная зависимость

$$\sigma_2 = \frac{\tau_{из.1}}{\left\{ 1 - \tau_1^2 \left[ 1 - (\tau_{из.1})^{\frac{k-1}{k}} \right] \right\}^{\frac{k}{k-1}}}. \quad (4)$$

В некоторых случаях в качестве независимой переменной принимается функция  $\pi_1 = \frac{P_1}{P_1^*}$ , тогда зависимость  $\sigma_1 = f(\tau_1; \pi_1)$  будет выражаться формулой

$$\sigma_1 = \frac{1}{\pi_1} \left( 1 - \frac{1 - \pi_1^{\frac{\kappa-1}{\kappa}}}{\varphi_1^2} \right)^{\frac{\kappa}{\kappa-1}} \quad (5)$$

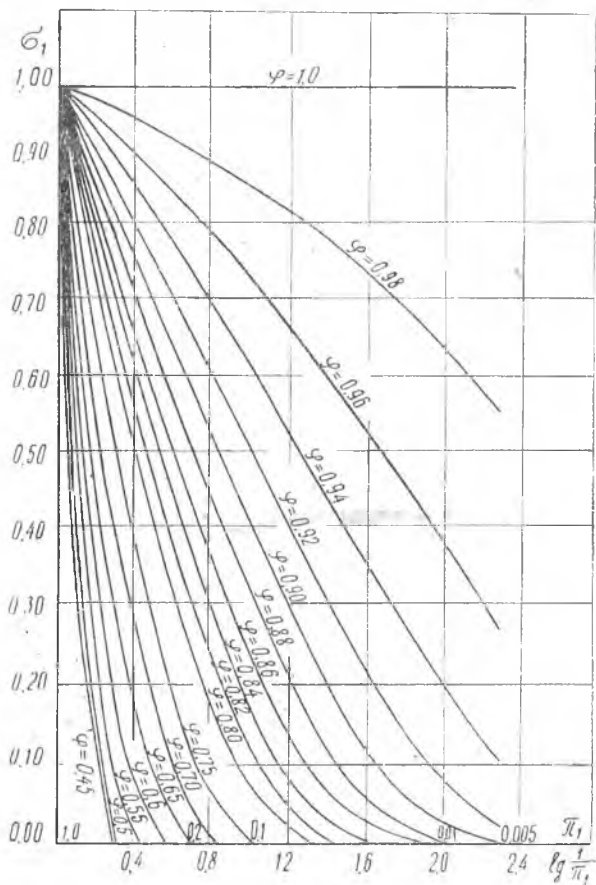
Интересно отметить, что в соответствии с этой формулой для каждой  $\pi_1 > 0$  существует определенное значение  $(\varphi_1)_{\min}$ , при котором  $\sigma_1 \rightarrow 0$ . Очевидно  $(\tau_1)_{\min} = \sqrt{1 - \pi_1^{\frac{\kappa-1}{\kappa}}}$ , причем, при уменьшении  $\pi_1$  (при увеличении степени расширения)  $(\tau_1)_{\min}$  возрастает и при  $\pi_1 \rightarrow 0$   $(\tau_1)_{\min} = 1$ .



Фиг. 2.

Таким образом, в каналах с движением вязкого газа при действительных значениях числа  $\lambda_1 > 0$  на выходе из канала (или при  $\pi_1 > 0$ ) коэффициент скорости  $\varphi_1$  больше  $(\varphi_1)_{\min}$ , соответствующего условию  $\sigma_1 > 0$ . В действительности,  $\sigma_1 = \frac{P_1^*}{P_0^*} > 0$ , так что  $\varphi_1 > (\varphi_1)_{\min}$ . При этом, чем больше  $\lambda_1$ , тем больше и  $(\varphi_1)_{\min}$ . Уравнение (4) с независимым параметром  $\pi_{из.1}$  нельзя использовать для определения  $(\varphi_1)_{\min}$ , так как при  $\pi_1 > 0$  условие  $\sigma_1 \rightarrow 0$  соответствует условию  $\pi_{из.1} = 0$  (или  $\lambda_{из.1} = \lambda_{\max}$ ,  $M_{из.1} = \infty$ ) и, в соответствии с уравнением (4) условие  $\sigma_1 \rightarrow 0$  выполняется при любом  $1 > \varphi_1 > 0$ .

На фиг. 2 приведены графики зависимости  $\varphi_1 = \varphi(\sigma_1; \pi_{из.1})$  для процесса расширения газа. Следует отметить, что при  $\varphi = \text{const}$ , в зависимости от величины  $\pi_{из.1} = \frac{P_1}{P_{из.1}}$ , коэффициент



Фиг. 3.

он может принимать резко различающиеся значения: при большой  $\pi_{из.1}$  коэффициент  $\sigma_1$  имеет значения, сравнимые с  $\varphi_1$ , а при малом  $\pi_{из.1}$  коэффициент  $\sigma_1$  мал. Иными словами, одна и та же потеря скорости  $\Delta C_1$  (или соответствующее уменьшение  $\varphi_1$ ) при малых  $\pi_{из.1}$  (при большой величине самой скорости  $C_1$ ) соответствует большим потерям давления торможения  $\Delta P_1^*$  (малым  $\sigma_1$ ), а при больших  $\pi_{из.1}$  — малым потерям давления торможения.

На фиг. 3 приведены графики зависимости  $\sigma_1 = f(\varphi_1; \pi_1)$ .

Кроме формул (3) и (4), более простую связь между  $\varphi_1$  и  $\sigma_1$  можно установить посредством газодинамических функций действительного и изэнтропного течений.

$$\text{Так, коэффициент } \varphi_1 = \frac{C_1}{C_{из.1}} = \frac{\lambda_1 \cdot a_{кр.1}}{\lambda_{из.1} \cdot a_{кр.из.1}} = \frac{\lambda_1}{\lambda_{из.1}}. \quad (6)$$

Здесь  $a_{кр.1} = a_{кр.из.1}$ , ибо  $T_{из.1}^* = T_1^*$ .  
С другой стороны,

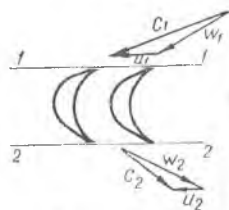
$$\sigma_1 = \frac{P_1^*}{P_{из.1}^*} = \frac{P_1^*}{P_0^*} = \frac{\pi_{из.1}}{\sigma_1}. \quad (7)$$

При заданных  $P_0^*$ ;  $T_0^*$ ;  $P_1$ ;  $k$ ;  $\varphi_1$  определение  $\sigma_1$  производится в следующем порядке. Вычисляем  $\pi_{из.1} = \frac{P_1}{P_0^*}$  и по таблицам газодинамических функций (для заданного  $k$ ) находим функцию  $\lambda_{из.1}$ . Затем по формуле  $\lambda_1 = \varphi_1 \cdot \lambda_{из.1}$  вычисляется действительная функция  $\lambda_1$ , а по таблицам находится функция —  $\pi_1 = \frac{P_1}{P_1^*}$ . Наконец, по формуле (7) вычисляется коэффициент  $\sigma_1$ . При обратной задаче, когда задан коэффициент  $\sigma_1$  и определяется соответствующее значение коэффициента  $\varphi_1$ , сначала вычисляется  $\pi_{из.1}$  и по таблицам находится  $\lambda_{из.1}$ , затем по формуле (4) находится действительная функция  $\pi_1 = \frac{\pi_{из.1}}{\sigma_1}$ , а по таблицам — функция  $\lambda_1$ ; наконец, по формуле (6) вычисляется коэффициент  $\varphi_1 = \frac{\lambda_1}{\lambda_{из.1}}$ .

В случае вращающихся каналов рабочих решеток уравнения (3), (4), (6), (7) должны быть записаны в относительных координатах.

Для вращающегося канала (фиг. 4), считая параметры сечения 1—1 исходными, можно записать:

$$\psi_{\omega 2} = \frac{w_2}{w_{из.2}} \quad \text{и} \quad \sigma_{\omega 2} = \frac{P_{\omega 2}^*}{P_{из.2}^*}.$$



Фиг. 4.

Действительная относительная скорость газа на выходе из канала

$$\omega_2 = V \sqrt{2g \frac{k}{k-1} RT_{\omega 1}^* \left[ 1 - \left( \frac{P_2}{P_{\omega 2}^*} \right)^{\frac{k-1}{k}} \right]}. \quad (8)$$

Изоэнтروпная относительная скорость газа

$$w_{\text{из. } 2} = \sqrt{2g \frac{k}{k-1} R T_{\text{из. } \omega 2}^* \left[ 1 - \left( \frac{P_2}{P_{\text{из. } \omega 2}^*} \right)^{\frac{k-1}{k}} \right]}.$$

В случае  $u_2 \neq u_1$  (например, радиальная турбина или центральный компрессор) для теплоизолированного канала:

$$T_{\text{из. } \omega 2}^* = T_{\omega 2}^* = T_{\omega 1}^* + \frac{u_2^2 - u_1^2}{\frac{k}{k-1} R \cdot 2g}.$$

$$P_{\text{из. } \omega 2}^* = P_{\omega 1}^* \left( \frac{T_{\text{из. } \omega 2}^*}{T_{\omega 1}^*} \right)^{\frac{k}{k-1}} = P_{\omega 1}^* \left( \frac{T_{\omega 2}^*}{T_{\omega 1}^*} \right)^{\frac{k}{k-1}}.$$

При  $u_2 = u_1$ ,  $T_{\text{из. } \omega 2}^* = T_{\omega 2}^* = T_{\omega 1}^*$ ;  $P_{\text{из. } \omega 2}^* = P_{\omega 1}^*$ .

По аналогии с уравнением (3) для данного случая вращающихся каналов можно написать:

$$\phi_2^2 = \frac{1 - \left( \frac{P_2}{P_{\omega 2}^*} \right)^{\frac{k-1}{k}}}{1 - \left( \frac{P_2}{P_{\text{из. } \omega 2}^*} \right)^{\frac{k-1}{k}}} = \frac{1 - \left( \frac{\tau_{\text{из. } \omega 2}}{\sigma_{\omega 2}} \right)^{\frac{k-1}{k}}}{1 - \left( \frac{\tau_{\text{из. } \omega 2}}{\tau_{\text{из. } \omega 2}} \right)^{\frac{k-1}{k}}} = \frac{1 - \frac{\tau_{\text{из. } \omega 2}}{(\sigma_{\omega 2})^{\frac{k-1}{k}}}}{1 - \frac{\tau_{\text{из. } \omega 2}}{\tau_{\text{из. } \omega 2}}}.$$

Обратная зависимость

$$\sigma_{\omega 2} = \frac{\tau_{\text{из. } \omega 2}}{\left[ 1 - \phi_2^2 \left( 1 - \left( \frac{\tau_{\text{из. } \omega 2}}{\tau_{\text{из. } \omega 2}} \right)^{\frac{k-1}{k}} \right) \right]^{\frac{k}{k-1}}}.$$

По аналогии же с уравнениями (6) и (7) получим:

$$\phi_2 = \frac{w_2}{w_{\text{из. } 2}} = \frac{\lambda_{\omega 2} \cdot a_{\text{кр. } \omega 2}}{\lambda_{\text{из. } \omega 2} \cdot a_{\text{кр. из. } \omega 2}} = \frac{\lambda_{\omega 2}}{\lambda_{\text{из. } \omega 2}}.$$

Здесь

$$a_{\text{кр. } \omega 2} = \sqrt{\frac{2k}{k-1} g R T_{\omega 2}^*} = a_{\text{кр. из. } \omega 2} = \sqrt{\frac{2k}{k-1} g R T_{\text{из. } \omega 2}^*},$$

ибо  $T_{\text{из. } \omega 2}^* = T_{\omega 2}^*$ ,

$$\sigma_{\omega 2} = \frac{P_{\omega 2}^*}{P_{\text{из. } \omega 2}^*} = \frac{\tau_{\text{из. } \omega 2}}{\tau_{\omega 2}}.$$

Здесь  $P_{\omega 2} = P_2$ .

Графики зависимости  $\zeta_1 = \zeta(\sigma_1; \pi_{\text{из. } 1})$  на фиг. 2 можно рассматривать как графики зависимости  $\phi_2 = \phi(\sigma_{\omega 2}; \pi_{\text{из. } \omega 2})$ , если вместо  $\zeta_1$  подразумевать  $\phi_2$ , а вместо  $\pi_{\text{из. } 1} \rightarrow \pi_{\text{из. } \omega 2}$ .

Рассмотрим соотношение между коэффициентом  $\zeta_1$  и коэффициентом расхода  $\mu = \frac{G}{G_{\text{из.}}}$ .

Величину  $\mu$  необходимо знать при определении площади  $F$  сечения канала. Коэффициент расхода  $\mu$  не зависит от положения сечения канала, однако устанавливая связь между  $\mu$  и  $\varphi$ , придется это выражение записывать для определенного сечения, так как величина  $\varphi$  зависит от положения сечения.

Так как опытная величина  $\varphi$  (фиг. 1) соответствует выходному сечению  $I-I$  канала, то и  $\mu$  следует определять по параметрам сечения  $I-I$  на выходе. Причем, надо иметь в виду, что коэффициент  $\varphi$  в этом случае учитывает полную потерю энергии при движении вязкого газа в канале по всей его длине до выходного сечения  $I-I$ . Например, в случае соплового канала турбины  $\varphi$  соответствует полным потерям, включающим профильные, концевые и полные (в случае сверхзвуковых течений) потери.

Таким образом,

$$\mu_1 = \frac{G_1}{G_{из.1}} = \frac{\gamma_1 \cdot c_1 \cdot F_1}{T_{из.1} \cdot c_{из.1} \cdot F_1} = \frac{\frac{P_1}{RT_1}}{\frac{P_{из.1}}{RT_{из.1}}} \cdot \tau_1 = \frac{T_{из.1}}{T_1} \cdot \tau_1 = \frac{\tau_{из.1}}{\tau_1} \cdot \tau_1, \quad (16)$$

где  $P_{из.1} = P_1$ ;  $T_{из.1} = T_1^*$ .

Выражая  $\tau$  через  $\lambda$  по формулам  $\tau_{из.1} = 1 - \frac{k-1}{k+1} \lambda_{из.1}^2$  и  $\tau_1 = 1 - \frac{k-1}{k+1} \lambda_1^2$ , и учитывая, что  $\lambda_1 = \tau_1 \cdot \lambda_{из.1}$ , получим:

$$\mu_1 = \left[ \frac{1 - \frac{k-1}{k+1} \lambda_{из.1}^2}{1 - \frac{k-1}{k+1} \tau_1^2 \lambda_{из.1}^2} \right] \cdot \tau_1. \quad (17)$$

На фиг. 5 изображен график зависимости  $\mu_1 = \mu(\tau_1; \lambda_{из.1})$ . Как видим, при  $\tau_1 = \text{const}$  величина  $\mu_1$  в области большой  $\lambda_{из.1}$  существенно ниже, чем в области малой  $\lambda_{из.1}$ .

При определении площади сечения подвижных каналов (фиг. 4) необходимо в уравнении (17) величины  $\tau_{из.1}$  и  $\tau_1$  изменить на  $\tau_{из.2}$  и  $\tau_2$ , тогда получим

$$\mu_{из.2} = \left[ \frac{1 - \frac{k-1}{k+1} \lambda_{из.2}^2}{1 - \frac{k-1}{k+1} \tau_{из.2}^2 \lambda_{из.2}^2} \right] \cdot \tau_{из.2}, \quad (18)$$

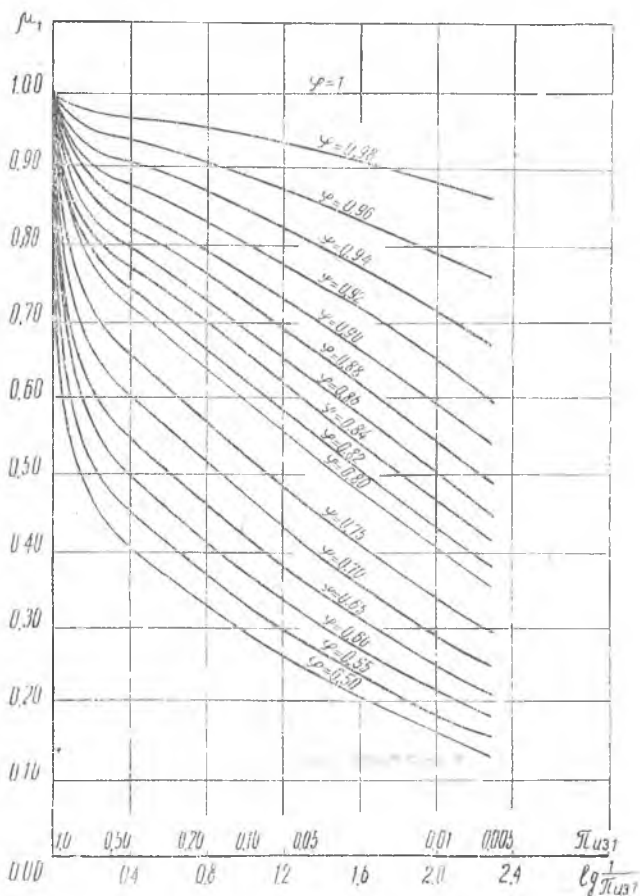
где  $\lambda_{из.2} = \frac{w_{из.2}}{a_{кр. из.2}}$  — определяется по  $\tau_{из.2} = \frac{P_{из.2}}{P_{из.2}^*} = \frac{P_2}{P_{из.2}^*}$ ,

$$\tau_{из.2} = \frac{w_{из.2}}{w_{из.2}^*}.$$

Параметры  $P_{из.2}^*$ ;  $T_{из.2}^*$ ;  $w_{из.2}$  выражаются через исходные параметры сечения  $I-I$  по формулам (10) и (11).

Кроме зависимостей  $\sigma = \sigma(\tau)$  и  $\mu = \mu(\tau)$ , можно получить обобщенную зависимость  $\mu = \mu(\sigma; \varphi)$ , если в уравнении (16) отношение  $\frac{\tau_{\text{из.1}}}{\tau_1}$  заменить выражением

$$\frac{\tau_{\text{из.1}}}{\tau_1} = \left( \frac{\tau_{\text{из.1}}}{\tau_1} \right)^{\frac{\kappa-1}{\kappa}} = \left( \frac{P_{\text{из.1}}}{P_{\text{из.1}}^*} \cdot \frac{P_1^*}{P_1} \right)^{\frac{\kappa-1}{\kappa}} = \sigma_1^{\frac{\kappa-1}{\kappa}}$$



Фиг. 5.

Тогда получим

$$\mu_1 = \sigma_1^{\frac{\kappa-1}{\kappa}} \varphi_1 \quad (1)$$

Площадь сечения канала определяется по формуле

$$F_1 = \frac{F_{\text{кр.1}}}{q_1}, \quad \text{где } F_{\text{кр.1}} = \frac{G \sqrt{T_1^*}}{m \cdot P_1^*} = \frac{G \sqrt{T_0^*}}{m \cdot P_0^* \cdot \sigma_1} \quad (2)$$

$$m = \sqrt{k \left( \frac{2}{k+1} \right)^{\frac{k-1}{k+1}} \cdot \sqrt{\frac{g}{R}}}$$

Таким образом,

$$F_1 = \frac{G \sqrt{T_0^*}}{m \cdot P_0^* \cdot q_1 \cdot \sigma_1} \quad (21)$$

В случае сверхзвуковых сопел площадь горловины можно было бы определить по формуле (21), принимающей в этом случае вид

$$F_1 = \frac{G \sqrt{T_0^*}}{m \cdot P_0^* \cdot q_1 \cdot \sigma_1}$$

При этом следует иметь в виду, что в случае движения вязкого газа  $(F_{кр})_r < F_r$ .

Однако величины  $q_r$  и  $\sigma_r$  обычно неизвестны, поэтому  $F_r$  следует определять по формуле

$$F_r = \frac{G_{из} \sqrt{T_0^*}}{m \cdot P_0^*} = \frac{G \sqrt{T_0^*}}{m \cdot P_0^* \cdot \mu_1} \quad (22)$$

В этом выражении  $\mu_1 = \mu_r$ , так как величина  $\mu$  не зависит от положения сечения.

Наконец соотношение между  $F_1$  и  $F_r$  получим, разделив уравнение (20) на уравнение (21), тогда

$$F_1 = F_r \frac{\mu_1}{q_1 \cdot \sigma_1} \quad (23)$$

#### ЛИТЕРАТУРА

1. Г. С. Жирицкий, В. И. Локай, М. К. Максимова, В. А. Стрункин. Газовые турбины авиационных двигателей, Оборонгиз, 1963.
2. М. Е. Дейч. «Техническая газодинамика». Госэнергоиздат, 1961.